

## مطالعه توزیع تنش برشی بستر پیرامون سازه‌های رودخانه‌ای با استفاده از پرستون سه‌لوله

اکبر صفرزاده<sup>۱\*</sup>، سید علی اکبر صالحی نیشابوری<sup>۲</sup>

۱- استادیار گروه مهندسی عمران، دانشگاه محقق اردبیلی

۲- استاد سازه‌های هیدرولیکی، پژوهشکده مهندسی آب، دانشگاه تربیت مدرس

\* اردبیل، دانشکده فنی و مهندسی دانشگاه محقق اردبیلی

Safarzadeh@uma.ac.ir

**چکیده**- در تحقیق حاضر ضمن مرور روش‌های موجود، ابزاری کارامد به نام ابزار سه‌لوله با فرکانس اندازه‌گیری ۸۵ هرتز، برای اندازه‌گیری تنش برشی بستر پیرامون سازه‌های رودخانه‌ای طراحی و ساخته شده است. مزیت اصلی این روش نیاز نداشتن به استقرار حسگر در امتداد جریان موضعی است. این ابزار برای اندازه‌گیری توزیع دقیق تنش برشی بستر پیرامون تک آبشکن مستقیم در بستر تخت و صلب استفاده شده و نتایج حاصل از آن با نتایج تحقیقات موجود مقایسه شده است. بیشینه تشدید تنش برشی موضعی بستر در محدوده دماغه، الگوی توزیع در امتداد بخش بیرونی لایه برشی، نحوه توزیع و میزان تشدید تنش عمومی در مجرای اصلی کanal و همچنین محدوده شروع آبشستگی در جریان نزدیک شونده ناشی از تشدید عمومی تنش برشی، همخوانی بسیار خوبی با نتایج آزمایشگاهی موجود و همچنین شبیه‌سازی‌های دقیق عددی دارد.

**کلیدواژگان:** تنش برشی بستر، ابزار سه‌لوله‌ای، مبدل فشار، آبشکن، لایه برشی.

دیواره است که به سه روش مختلف تقسیم می‌شود. در روش سیم داغ و فیلم داغ، یک المان کوچک با حساسیت دمایی بالا در نزدیکی بستر نصب می‌شود و اساس کار بر تناسب تنش برشی بستر و انتقال حرارت استوار است. این روش با وجود داشتن سازوکاری نسبتاً ساده و پاسخ زمانی مناسب برای ثبت نوسانهای تنش برشی ناشی از جریان آشفته موضعی، به علت شکنندگی سنسور و مشکلات کالیبره‌سازی، محدودیت دارد. در حالتی که نقطه اندازه‌گیری ثابت بوده و هدف، بررسی تغییرات زمانی تنش با دقت و فرکانس بالا در نقاط خاص مانند

**۱- مقدمه**  
در مطالعات هیدرودینامیک رودخانه‌ها، تعیین تنش برشی بستر با استفاده از روش‌ها و ابزارهای مختلفی صورت می‌گیرد که در حالت کلی، بسته به سازوکار و نحوه تعیین، به دو دسته روش‌های مستقیم و غیر مستقیم تقسیم‌بندی می‌شوند. تقسیم بندی روش‌ها و نیز تکنیک‌های مورد استفاده در هر روش توسط صفرزاده و همکاران (۱۳۸۹) ارائه شده است. پر کاربردترین و معروف‌ترین ابزارها و روش‌های اندازه‌گیری تنش برشی موضعی، گروه روش‌های تشابه

تنش برشی بستر را می‌توان محاسبه کرد (Nezu and Rodi, 1986). روش برآش خطی بر تنش‌های رینولزد ویژه جریان یکنواخت بوده و استفاده از آن برای جریان‌های غیر یکنواخت ممکن است به محاسبه نادرست تنش برشی بستر منجر شود. (Song and Chiew (1994) ضمن اندازه‌گیری پارامترهای آشفتگی جریان غیردائم در هر دو حالت گرادیان مثبت و منفی (جریان تند شونده و جریان کند شونده)، به اختلاف بزرگ ساختار آشفتگی و به ویژه توزیع تنش‌های رینولزد در جریان غیر یکنواخت Yang and Chow (2008) ضمن تأکید بر غیرخطی بودن توزیع قائم تنش رینولزد، بر اهمیت مؤلفه قائم سرعت در جریان‌های غیر یکنواخت (نه به علت جریان‌های ثانویه بلکه به علت اختلاف شیب بستر کanal و سطح آب) و شار مومنت حاصل از آن که بر توزیع تنش تأثیر می‌گذارد، اشاره کرده است.

Dey and Barbhuiya (2005) بستر در جریان سه‌بعدی پیرامون کوله پل در دو حالت بستر صاف و بستر تغییر شکل یافته، از تنش‌های رینولزد نزدیک بستر - که با ابزار ADV اندازه‌گیری شده - استفاده کرده و تنش برشی بستر را با استفاده از سه مؤلفه تنش رینولزدی محاسبه کردن. پژوهشگرانی مانند Beheshti Vaghefi and Ghodsian and Ataei-Ashtiani (2010) Duan et al. (2009) و (2008) با اندازه‌گیری جریان با ADV، برای محاسبه تنش بستر در جریان پیرامون سازه‌های مختلف رودخانه‌ای از برونویابی خطی توزیع قائم تنش‌های رینولزد بر روی بستر یا از تنش رینولزد در نقطه نزدیکی بستر برای محاسبه تنش برشی بستر استفاده کرده‌اند. استفاده از روش تنش رینولزد برای محاسبه تنش برشی بستر در جریان‌های غیر یکنواخت، از جنبه‌های زیرقابل نقد است:

- ۱- در جریان‌های یکنواخت، توزیع خطی تنش رینولزد از

نقاط جدایی جریان یا محل اتصال مجدد در جریان‌های سه بعدی باشد، این ابزار مناسب است اما برای اهداف آزمایشگاهی با تعداد زیاد نقاط این روش مناسب نیست (Fernholz et al., 1996).

در روش حاصل ضرب عمق و شیب که اغلب برای جریان‌های یکنواخت استفاده می‌شود، تنش برشی متوسط پیرامون خیس با فرض تعادل بین نیروی برشی اعمال شده از جداره‌ها به توده سیال و مؤلفه وزن سیال در راستای حرکت تعیین می‌شود. در این روش، تنش برشی بین ذرات سیال (تنش رینولزد در جریان‌های آشفته) که در خلاف جهت تنش بستر است، در نظر گرفته نشده است. تنش برشی حاصل از این روش، مجموع تنش‌های بستر و جداره‌های کanal است و برای محاسبه تنش بستر باید سهم تنش جداره‌ها از تنش کل کم شود. نقص مهم این روش، اعمال شدن تأثیر جریان ثانویه و همچنین اعمال نشدن اثر تبادل مومنتم بین مجرای اصلی و سیلاند داشت در مقاطع مرکب برای محاسبه تنش برشی است (صفرزاده و همکاران، ۱۳۸۹).

روش پروفیل لگاریتمی سرعت نیز یکی از روش‌های اصلی در تعیین تنش برشی بستر در حالات بستر صاف و زیر است. البته به دلیل عدم قطعیت موجود در تعیین ارتفاع معادل زیری مصالح بستر و نیز تراز مبنا، این روش با مشکل همراه است. Soon-Keat and Guoliang (2006) با مطالعه پارامتری تأثیر دو پارامتر بالا، تغییر شدید تنش برشی محاسباتی با این روش را - در صورتی که تراز مبنا فقط به اندازه ۵ میلی‌متر کمتر یا بیشتر از مقدار واقعی در نظر گرفته شود - گزارش کرده‌اند.

در جریان‌های توسعه یافته دو بعدی یکنواخت، توزیع قائم تنش رینولزد در محدوده  $Z/h > 0.2$  خطی است.  $Z$  فاصله از کف کanal و  $h$  عمق جریان است. این نتیجه، مبنای روش دیگری برای محاسبه تنش برشی بستر است که در آن اگر رابطه خطی به سمت بستر برونویابی شود،

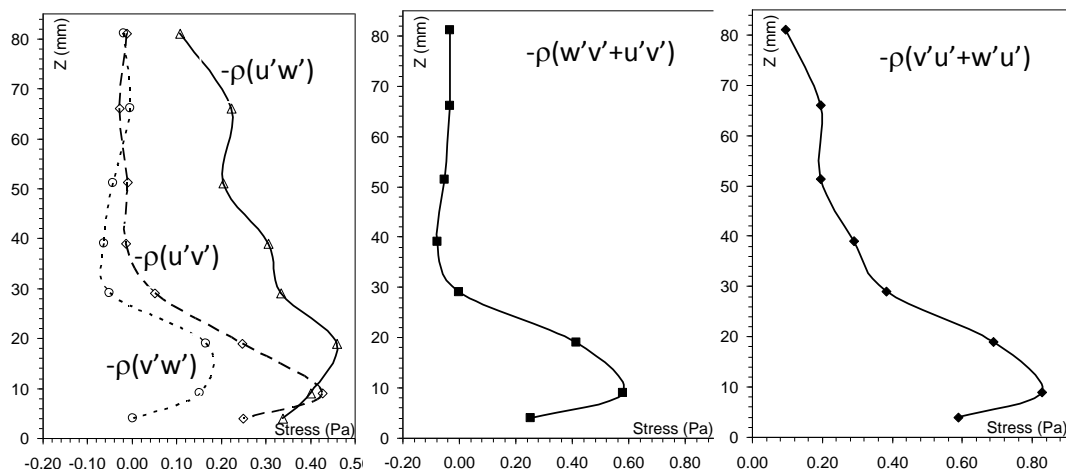
شکل ۱ توزیع قائم تنش‌های رینولذز را در ناحیه پرسرعت (محدوده بیرونی لایه برشی) پس از آبشکن مستقیم نشان می‌دهد (Safarzadeh et al., 2010). با توجه به این شکل، توزیع قائم هر سه مؤلفه تنش، کاملاً غیرخطی بوده و در نتیجه برآش خط راست و بروندیابی بر روی بستر، به خطای بزرگی در محاسبه تنش برشی با این روش منجر می‌شود.

۳- استفاده از تنش رینولذز مربوط به یک نقطه نزدیک به بستر برای محاسبه تنش برشی بستر نادرست است. با توجه به شکل ۱ (همچنین در بیشتر پروفیل‌های قائم تنش رینولذز در جریان‌های سه‌بعدی)، گرادیان تنش‌های رینولذز در نزدیکی بستر شدید است، به طوری که تنش رینولذز در تراز  $10\text{ mili}\text{m}$ تری بستر برای مؤلفه  $\rho'v'$  دو برابر مقدار آن در تراز  $4\text{ mili}\text{m}$ تری است.

Rowinski et al. (2006) در بررسی روش‌های مختلف تعیین تنش برشی بستر، به عدم کارایی روش تک نقطه‌ای تنش رینولذز در تعیین تنش برشی بستر در حالتی که ساختار جریان از حالت دو بعدی خارج شده، اشاره کرده‌اند.

طریق اندازه‌گیری با ابزار لیزری و همچنین با استفاده از روابط نظری اثبات شده و در نتیجه استفاده از بروندیابی خطی برای محاسبه سرعت برشی بستر در جریان یکنواخت منطقی است. در جریان‌های سه‌بعدی (بهویژه جریان در اطراف موانع) برخلاف جریان یکنواخت، در بخش‌های مختلف میدان، مؤلفه‌های عرضی و قائم سرعت متوسط نیز قابل توجه بوده و از شار مومنتم ناشی از مؤلفه‌های مزبور نمی‌توان صرف‌نظر کرد. Yang and Chow (2008) به صورت نظری نشان دادند که در جریان‌های آشفته، تنش برشی کل برابر مجموع شار مومنتم نوسان‌های سرعت (تنش‌های رینولذز) و شار مومنتم مؤلفه‌های متوسط سرعت است. در جریان‌های یکنواخت دو بعدی مؤلفه قائم سرعت ناچیز بوده و بنابراین می‌توان از شار مومنتم ناشی از جریان متوسط در برابر شار مومنتم ناشی از نوسان‌های سرعت صرف‌نظر کرد.

۲- علاوه بر مطالب بالا، با توجه به غیریکنواختی شدید در جریان پیرامون بیشتر سازه‌های رودخانه‌ای، تنش‌های رینولذز توزیع کاملاً غیرخطی دارند. کار محققانی مانند Yang and Chow (2008) و Song and Chiew (1994) برای جریان غیریکنواخت در غیاب سازه ارائه شده است.



شکل ۱ توزیع قائم تنش‌های رینولذز در ناحیه لایه برشی بعد از تک آبشکن مستقیم (Safarzadeh et al., 2010)

ضریب اصطکاک پوسته‌ای) ارائه کرد. در این ابزار از دو لوله کم قطر که روی بستر کanal و در راستای جریان موضعی قرار می‌گیرند، برای اندازه‌گیری فشارهای کل ( $P_{total}$ ) و فشار هیدرودینامیک موضعی ( $P_{static}$ ) استفاده شده و فشار هیدرودینامیک موضعی ( $\Delta P$ ) از طریق تفاضل دو فشار مزبور اندازه‌گیری می‌شود. با اندازه‌گیری فشار هیدرودینامیک موضعی و با استفاده از روابط کالیبره‌سازی خاص، فشار دینامیکی قابل تبدیل به تنش برشی محلی می‌شود. مزیت اصلی این روش، امکان انتقال به نقاط مختلف میدان برای اندازه‌گیری تنش موضعی است. جزئیات کامل این ابزار، نحوه ساخت و نتایج حاصل از اندازه‌گیری تنش برشی بستر در جریان‌های یکنواخت در مقاله صفرزاده و همکاران (۱۳۸۹) آورده شده است.

نکته مهم در استفاده از این ابزار، لزوم استقرار دقیق لوله‌ها در راستای جریان موضعی است. در صورتی که راستای موضعی جریان نامشخص باشد (مانند جریان در لایه مرزی سه‌بعدی)، مقدار و راستای بردار تنش برشی را می‌توان با چرخاندن لوله‌ها تعیین کرد. در این حالت لوله‌ها باید به اندازه‌های چرخانده شوند که بیشینه فشار هیدرودینامیک ثبت شود. در حالتی که راستای جریان‌های موضعی در میدان مورد مطالعه تغییر زیادی داشته باشد و هدف بررسی توزیع مکانی تنش باشد، لازم است مقادیر تنش در چندین نقطه از میدان اندازه‌گیری شود. در این حالت تعیین دقیق راستای موضعی جریان و استقرار لوله‌ها در آن راستا بسیار وقت‌گیر و مشکل بوده و علاوه بر آن ممکن است به علت تنظیم نادری راستای لوله‌ها، خطأ در اندازه‌گیری ایجاد شود.

Rajaratnam and Muralidhar (1968) با در نظر گرفتن این نکته، ضمن انجام آزمایش‌های متعدد به حساسیت کم ابزار دو لوله‌ای نسبت به راستای جریان اشاره کردند (مقدار تنش برشی در صورتی که لوله‌ها از حالت عادی تا

در صورت استفاده از این روش این سوال مطرح است که در چه ترازی از بستر تنش‌های رینولدز باید اندازه‌گیری شود تا تنش برشی بستر به درستی محاسبه شود؟ برای نمونه Duan et al. (2009) و Duan (2009) ضمن اندازه‌گیری جریان آشفته پیرامون تک‌آبشکن مستقیم با استفاده از ابزار ADV، تنش برشی بستر را با استفاده از تنش‌های رینولدز در فاصله یک سانتی‌متری بستر محاسبه کردند. با مقایسه نتایج ارائه شده در دو مقاله بالا دو نکته مهم قابل توجه است: ۱- افزایش عدد رینولدز و زبری بستر باعث کاهش میزان تشدید تنش بستر پیرامون آبشکن شده که این نتیجه منطقی نیست. ۲- بیشینه تشدید تنش در محدوده انتهایی جریان چرخشی رخ داده که با توجه به نتایج محققان قبلی در باره وقوع تنش بیشینه در اطراف دماغه آبشکن، این نتیجه نیز منطقی به نظر نمی‌رسد. علت وجود تناقض‌هایی آشکار در نتایج این محققان، ممکن است استفاده از تنش‌های رینولدز در یک نقطه نزدیک به بستر برای محاسبه تنش کف و همچنین خطای ابزار ADV در ثبت آشفتگی نزدیک بستر باشد. در بخش ارائه نتایج، توزیع تنش‌های برشی ارائه شده توسط این محققان با نتایج حاصل از تحقیق حاضر و نتایج معتبری که مورد استناد بیشتر محققان است، مقایسه شده است.

با توجه به معایب روش‌های بالا لزوم استفاده از روش یا ابزاری کارامد برای اندازه‌گیری و مطالعه توزیع تنش برشی بستر پیرامون سازه‌های رودخانه‌ای حس می‌شود. ابزار مورد نظر، علاوه بر دقت کافی باید قابلیت جابجایی راحت به نقاط مختلف میدان برای اندازه‌گیری تنش برشی در محدوده نسبتاً وسیعی در اطراف سازه را داشته باشد تا بتوان علاوه بر مقادیر نقطه‌ای، الگوی توزیع تنش برشی را در پیرامون سازه‌ها نیز مطالعه کرد. Preston, 1954 نام لوله پرستون برای اندازه‌گیری تنش برشی بستر (یا

$$k_0 = \frac{P_3 - P_2}{P_1 - P_2} = \frac{K_3 - K_2}{K_1 - K_2} = f(\phi) \quad (2)$$

Preston, 1954 روابط کالیبره‌سازی زیر را برای تبدیل فشار هیدرودینامیک موضعی به تنش برشی ارائه کرده است:

$$\Delta P^+ = g(\tau_0^+) \quad \tau_0^+ = \frac{\tau_0 D_p^2}{4\rho v^2} \quad , \quad \Delta P^+ = \frac{4\rho v^2}{D_p^2} \quad (3)$$

که در آن،  $D_p$  قطر بیرونی لوله،  $\rho$  و  $v$  به ترتیب جرم مخصوص و لزجت سینماتیک آب و  $\tau_0$  تنش برشی موضعی بستر است. پارامترهای بی بعد  $\tau_0^+$  و  $\Delta P^+$  به ترتیب پارامترهای بی بعد تنش برشی و فشار

هیدرودینامیکی موضعی است که از طریق تابع کالیبره‌سازی  $g$  به هم مرتبط می‌شوند. این تابع در مراجعی مانند صفرزاده و همکاران (۱۳۸۹) معرفی شده است. با استفاده از این رابطه، معادلات (۱) را می‌توان به صورت زیر بازنویسی کرد:

$$P_i = P_0 + K_i \frac{4\rho v^2}{D_p^2} g(\tau_0^+), \quad i = 1, 2, 3 \quad (4)$$

اگر دو مقدار فشار کل در لوله‌های کناری از هم کم شوند، داریم:

$$g(\tau_0^+) = \frac{(P_3 - P_1) D_p^2}{4\rho v^2} \frac{1}{K_3 - K_1} \quad (5)$$

در این رابطه در صورت معلوم بودن ضرایب کالیبره‌سازی، تابع بی بعد تنش برشی  $(\tau_0^+) g$  مشخص می‌شود و بنابراین با استفاده از رابطه اصلی پرستون می‌توان مقدار تنش برشی را تعیین کرد.

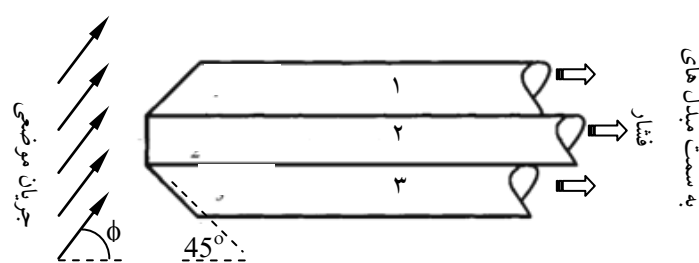
۲۰ درجه چرخانده شوند، تغییر چندانی نمی‌کند) و ابزار جدیدی را برای حل این مشکل معرفی کردند. در این ابزار از سه لوله برای ثبت فشار و در نهایت، اندازه‌گیری تنش برشی استفاده می‌شود. مزیت مهم این ابزار آن است که به چرخش لوله‌ها نیاز نبوده و در هر نقطه، ضمن تعیین راستای جریان موضعی توسط ابزار، تنش برشی موضعی نیز محاسبه می‌شود. در بخش بعدی با ارائه مبانی نظری، جزئیات عملکرد و ساخت این ابزار نیز ارائه می‌شود.

## -۲- مبانی نظری و جزئیات ابزار سه لوله‌ای

مطابق شکل ۲ در این ابزار سه لوله با قطر بیرونی یکسان وجود دارد که محور آنها در صفحه‌ای افقی واقع شده، به نحوی که دو لوله کناری دارای ورودی اریب با زاویه ۴۵ درجه و سر لوله میانی کاملاً تخت باشد. در صورتی که زاویه جریان موضعی نسبت به محور لوله میانی برابر  $\phi$  باشد، فشار کل ثبت شده در هر لوله را می‌توان به صورت زیر نوشت:

$$P_i = P_0 + K_i \Delta P, \quad i = 1, 2, 3 \quad (1)$$

در این رابطه،  $P_0$  و  $\Delta P$  به ترتیب فشار کل و فشار دینامیک واقعی در لوله میانی برای حالت ( $\phi=0$ ) و ضرایب  $K_1$ ،  $K_2$  و  $K_3$  ضرایب کالیبره‌سازی است که فقط تابعی از زاویه جریان موضعی هستند. با استفاده از این روابط، پارامتر زیر را که باز هم تابعی از زاویه جریان است، می‌توان تعریف کرد:



شکل ۲ ابزار سه لوله‌ای ساخته شده برای اندازه‌گیری تنش برشی موضعی

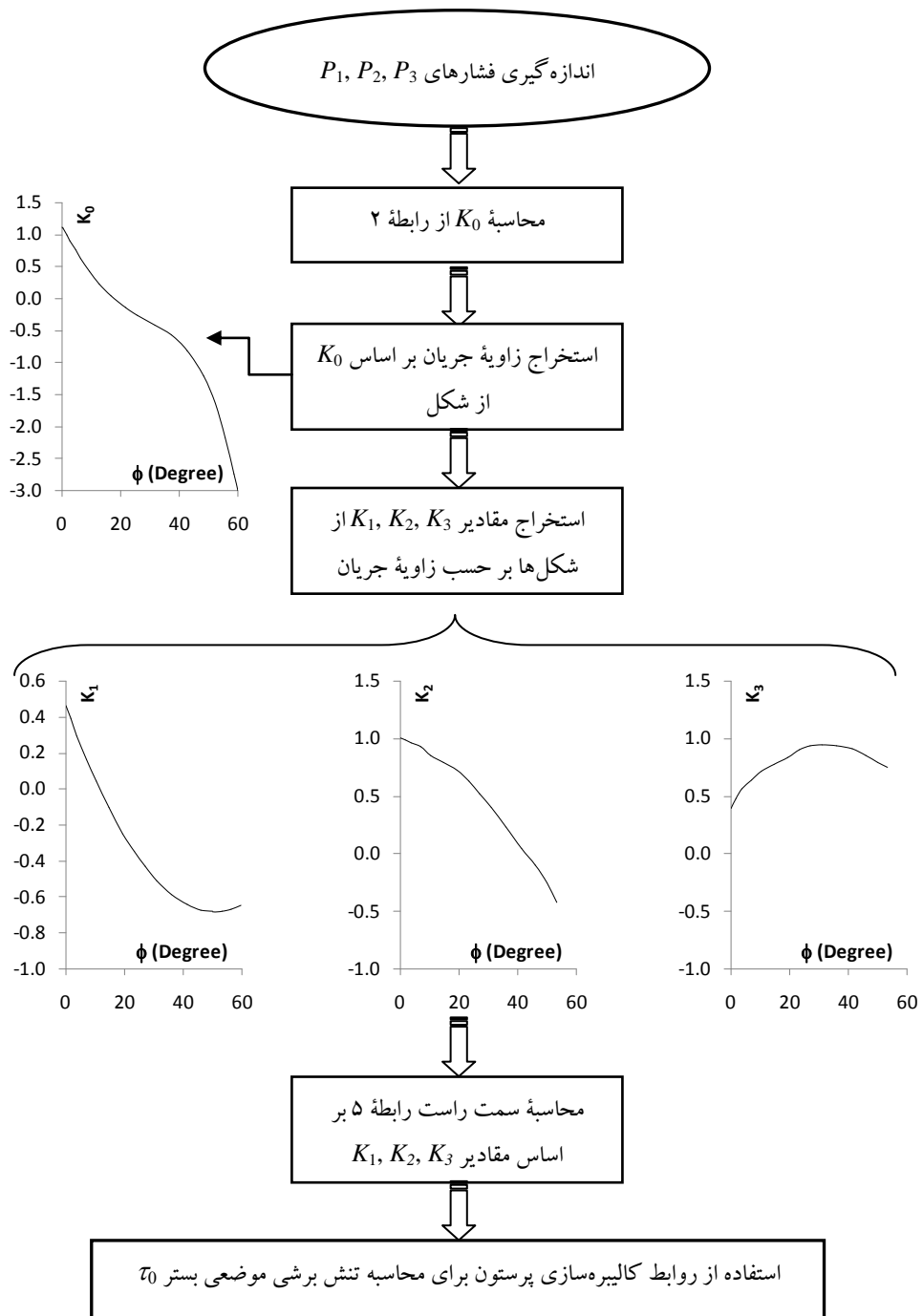
اندازه‌گیری تنش برشی در نزدیکی سازه آبشکن، ابزارهای سه لوله‌ای برای اندازه‌گیری و مطالعه مقادیر موضعی و همچنین الگوی توزیع تنش برشی بستر پیرامون سازه‌های رودخانه‌ای انتخاب شد.

نمای سه‌بعدی همراه با جزئیات ابزار ساخته شده در شکل ۴ نشان داده شده است. بر اساس توصیه محققان نسبت قطر داخلی ( $D_i$ ) به قطر بیرونی ( $D_p$ ) لوله‌ها باید بزرگتر از  $0/6$  باشد. بنابراین از لوله برنجی با قطر بیرونی  $3/1$  میلی‌متر و نسبت قطر داخلی به قطر بیرونی برابر  $0/72$  استفاده شد. سه لوله مورد نظر به صورت جانبی متصل شده و از طریق یک بست در بالای بازوی قائم که به صورت کاملاً موازی با خطوط جریانی طراحی و ساخته شده- به خط کش دیجیتال با دقت جابجایی قائم  $0/01$  میلی‌متر متصل شده است. بسته‌های مزبور از جنس استیل بوده و به نحوی طراحی و ساخته شد که علاوه بر حفظ دقیق بازوی قائم لوله‌ها به صورت عمود بر کف کanal، حداقل اختشاش در محدوده اندازه‌گیری ایجاد شود. حسگرهای فشار از طریق شیلنگ سیلیکون به مبدل‌های فشار متصل می‌شوند. مهم‌ترین بخش ثبت داده در این ابزار، مبدل‌های فشار است. در تحقیق حاضر، بر اساس بررسی‌های دقیق در مورد محدوده و دقت فشار مورد نیاز، از مبدل فشار خازنی مدل Keller-41X، در محدوده  $0-3$  کیلو پاسکال، دقت  $0/1$  پاسکال و پاسخ زمانی  $10$  میلی‌ثانیه (فرکانس نمونه‌برداری  $100$  هرتز) استفاده شد. خروجی سنسورها از طریق بورد A/D به کامپیوتر منتقل و از طریق برنامه نوشته شده در نرم‌افزار Labview سیگنال‌های دریافتی از سنسورها پس از فیلتر شدن و حذف داده‌های خطای خطا در به فشار تبدیل شده و به عنوان ورودی بخش محاسباتی (بر اساس الگوریتم ارائه شده در شکل ۳) به صورت سری زمانی و متوسط متحرک تنش برشی (برای کترول پایا بودن سری‌های زمانی و تعیین مدت زمان مناسب برای همگرای سری‌ها در هر نقطه) در هر نقطه تبدیل و ذخیره می‌شوند.

Rajaratnam and Muralidhar (1968) ضمن انجام آزمایش‌های متعدد، منحنی‌های ارائه شده در شکل ۳ را برای تعیین ضرایب کالیبره‌سازی در لوله‌هایی به قطر بیرونی  $3$  و قطر داخلی  $1/8$  میلی‌متر ارائه کرده‌اند. در این شکل، علاوه بر منحنی‌های مزبور، الگوریتم محاسبه تنش برشی نیز ارائه شده است. این روش توسط Rajaratnam و همکاران برای اندازه‌گیری تنش برشی بستر پیرامون سازه‌های مختلف رودخانه‌ای مانند کوله پل، پایه پل و نیز تنش برشی بستر در میدان جریان ناشی از جت دیواره‌ای استفاده شده است (Rajaratnam and Pani, 1974 Ahmad and Rajaratnam and Nwachukwu, 1983 Ahmad, 2000).

Ahmad and Rajaratnam (2000) با استفاده از ابزار سه لوله‌ای توزیع تنش برشی بستر پیرامون کوله ذوزنقه‌ای را اندازه‌گیری کرده و به موقع بیشینه تشدید تنشی برابر  $3/5$  برابر تنش برشی جریان نزدیک شونده در گوشه بالادست کوله اشاره کرده‌اند. Teruzzi et al. (2009) جریان سه‌بعدی مشابه با هندسه آزمایش Ahmad and Rajaratnam (2000) را با روش گردابه‌های بزرگ مقیاس<sup>۱</sup> شبیه‌سازی کرده و نتایج حاصل از مدل‌سازی را با نتایج آزمایشگاهی مقایسه کرده‌اند. در این تحقیق بیشینه تشدید تنش حاصل از مدل‌سازی عددی همخوانی بسیار مناسبی با تنش در محل وقوع بیشینه در داده‌های آزمایشگاهی دارد. لازم است ذکر شود که در روش گردابه‌های بزرگ مقیاس، تنش برشی بستر با استفاده از داده‌های سرعت در محدوده زیر لایه لزج استفاده شده و بنابراین تنش‌های برشی محاسبه شده با این روش، دقیق‌ترین است. علاوه بر دقت مناسب این ابزار، با توجه به کوچک بودن حسگر آن در مقایسه با ابزارهای دیگری مانند سرعت‌سنج‌های ADV یا سرعت‌سنج‌های مغناطیسی، ابزار سه لوله‌ای ساخته شده، قابلیت اندازه‌گیری تنش برشی در نواحی بسیار نزدیک به سازه‌ها را نیز دارد. با توجه به عملکرد مناسب این ابزار و همچنین توانایی

1. Large Eddy Simulation (LES)



شکل ۳ الگوریتم اندازه‌گیری تنش برشی بستر با استفاده از ابزار سه لوله‌ای حسگر به همراه منحنی‌های کالیبره‌سازی

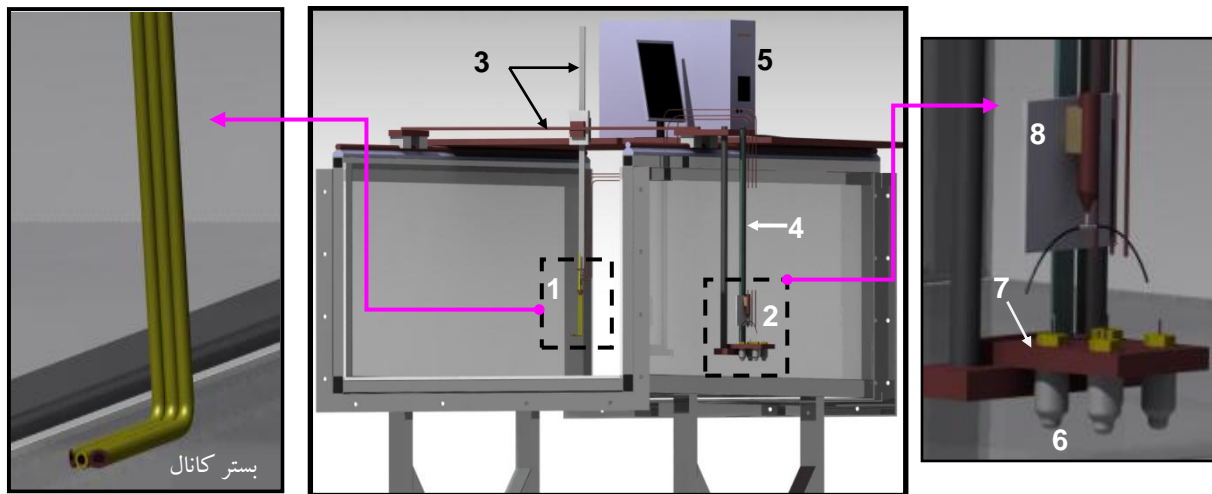
Rajaratnam and Muralidhar (1968)

(شکل ۵). طول کل کanal برابر ۱۱ متر (بدون تبدیل‌های

ابتدايی) بوده و در ورودی آن از تبدیل‌های کناری و تحتانی ملايم به طول  $2/35$  متر از مخزن بالا دست به کanal اصلی استفاده شده است.

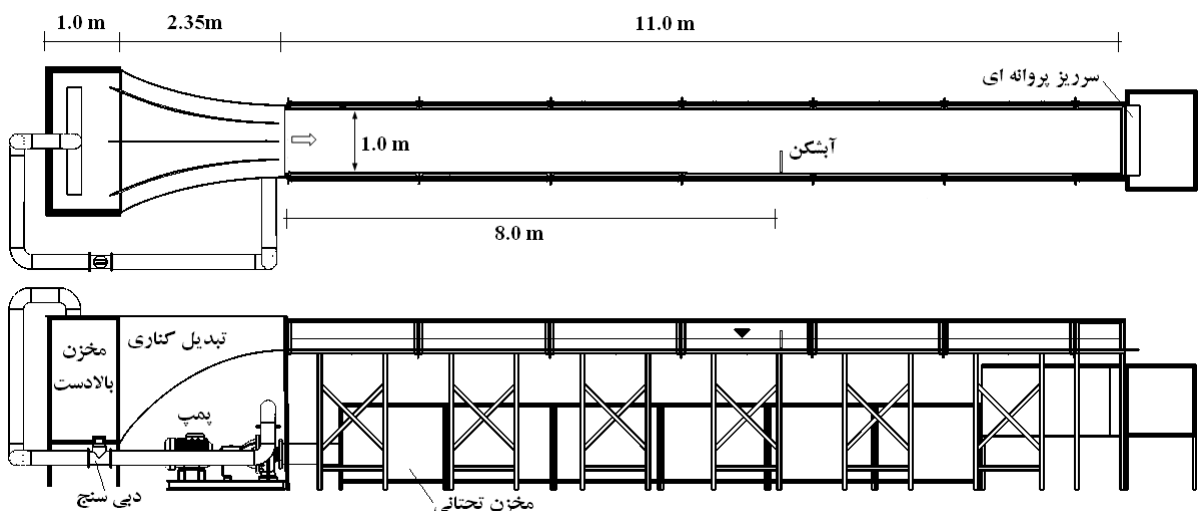
### ۳- جزئيات آزمایش

برای انجام تحقیق حاضر، فلوم آزمایشگاهی مستقیمی با مقطع مستطیلی با عرض  $B=1m$  و ارتفاع  $H=0.7m$  با بستر پلکسی گلاس با ضخامت ۲۰ میلی‌متر و جداره‌های شیشه‌ای با ضخامت ۱۰ میلی‌متر طراحی و ساخته شد



۱- مجموعه حسگرها و بست  
 ۲- مجموعه مبدل‌های فشار و ابزار کالیبره‌سازی آنها  
 ۳- خط کش دیجیتال و ریل عرضی با مقاطع مستطیل  
 ۴- بازوی جانبی نگهدارنده مبدل‌های فشار و ابزار کالیبره‌سازی آنها  
 ۵- کامپیوت و سیستم گردآوری داده‌ها  
 ۶- مبدل‌های فشار  
 ۷- صفحه نگهدارنده مبدل‌های فشار  
 ۸- ابزار کالیبره‌سازی مبدل‌ها

شکل ۴ نمای سه‌بعدی حسگر سه‌لوهای به همراه ابزار کالیبره‌سازی و نحوه قرارگرفتن سنسورهای فشار



شکل ۵ فلوم آزمایشگاهی مورد استفاده

برقراری عمق مورد نظر در طول کanal با استفاده از سیستم سردیز پروانه‌ای خودکار در انتهای کanal صورت می‌گیرد. شب طولی کanal در طول آزمایش برابر  $0.00033$  متر می‌باشد. تنظیم شده و از دبی سنج الکترومغناطیسی با دقیقیت  $0.1\%$  تمام مقیاس برای اندازه‌گیری دبی ورودی استفاده شده است. برای اندازه‌گیری عمق از عمقدسنج

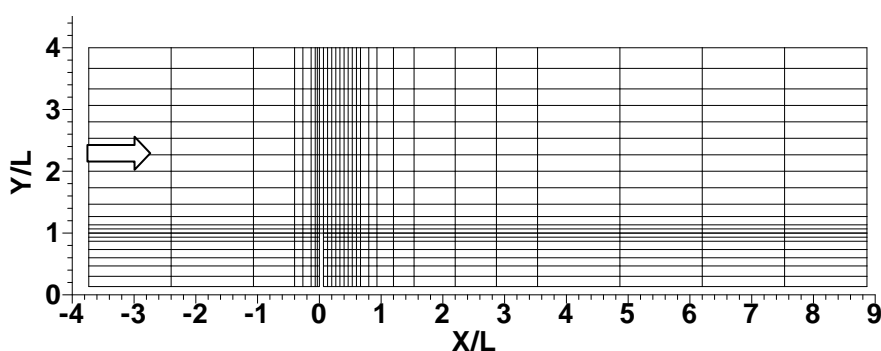
برای هدایت بهتر جریان، پره‌های هدایت غیر مستغرق بر روی تبدیل تحتانی نصب شده و همچنین در ورودی کanal از صفحه یونولیت شناور واقع بر سطح آب برای کاهش اغتشاش سطح آب استفاده شده است. برای تأمین آب از مخزن زیرین با ظرفیت  $13$  متر مکعب استفاده شده و مجموعه پمپ و الکتروموتور با بیشینه دبی اسمی  $85$  لیتر بر ثانیه آب را از مخازن زیرین به مخزن بالا پمپ

فرکانس واقعی اندازه‌گیری با در نظر گرفتن زمان تأخیر مربوط به ابزارهای انتقال فشار از حسگر به مبدل فشار و همچنین تأخیر تجهیزات انتقال اطلاعات، با توجه به فایل خروجی نرم افزار، برابر ۸۵ هرتز است. زمان اندازه‌گیری در هر نقطه با توجه به شدت اختشاش‌های جریان متفاوت بوده و در هر نقطه با توجه به ترسیم میانگین متحرک تنش برشی لحظه‌ای، با در نظر گرفتن تمامی داده‌ها از لحظه شروع، توسط نرم افزار تهیه شده و زمان مناسب از نظر همگرایی سری‌های زمانی تعیین می‌شود. نمونه‌ای از سری‌های زمانی و متوسط متحرک آن در شکل ۷ نشان داده شده است. با توجه به این شکل، همگرایی سری زمانی به مقدار ثابت و در نتیجه، کفايت زمان اندازه‌گیری مشهود است.

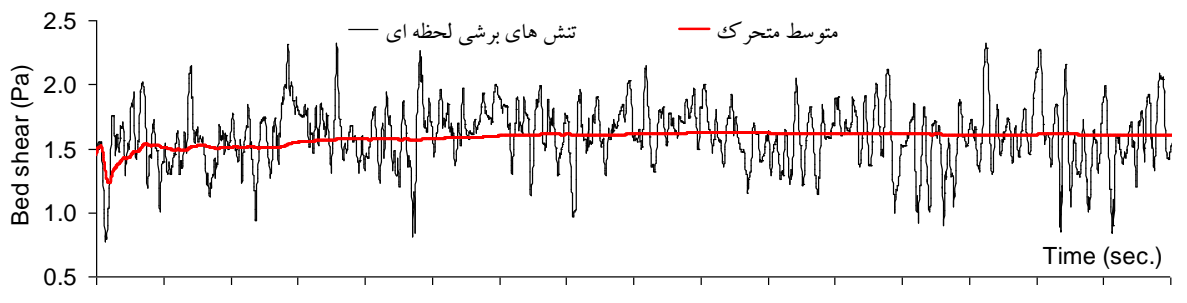
با توجه به شکل‌گیری حباب‌های هوا در شیلنگ‌های رابط حسگرها و مبدل‌های فشار، برای جلوگیری از بروز خطای بر اثر تراکم پذیری هوای محبوس شده، در بازه‌های زمانی مشخصی لازم است این حباب‌ها تخلیه شده و بار دیگر کالیبره‌سازی فشارستنج‌ها انجام شود. برای اطمینان از صحت کالیبره‌سازی و تخلیه کامل حباب‌های هوا، نقطه‌ای به عنوان مرجع در بالادرست دور و در میانه کanal (دور از تأثیر آبشکن) انتخاب شده و در هر مرحله، با اندازه‌گیری تنش در آن نقطه و اطمینان یافتن از یکسان بودن تنش با مراحل اندازه‌گیری قبلی، ابزار برای ادامه اندازه‌گیری به نقاط پیرامون آبشکن منتقل می‌شد.

دیجیتال با دقت ۰/۱ میلی‌متر استفاده شده است.

سازه مورد نظر، تک آبشکن مستقیمی با طول ۱۵۰ میلی‌متر و ضخامت ۱۰ میلی‌متر از جنس پلکسی گلاس است. بر اساس آزمایش‌های اویله‌ای که بدون وجود آبشکن انجام شد، با اندازه‌گیری پروفیل‌های قائم سرعت در طول میدان با استفاده از سرعت سنج سه‌بعدی، طول توسعه برابر ۸ متر تعیین شده (Safarzadeh et al., 2010) و بنابراین آبشکن در این فاصله از ورودی کanal نصب شده است. دبی ورودی به میدان برابر ۶۰ لیتر بر ثانیه بوده و عمق جریان در ورودی کanal برابر عمق عادی و برابر ۱۴۳ میلی‌متر با استفاده از سرریز انتهایی به میدان اعمال شد. آبشکن مورد نظر عمود بر دیواره سمت راست کanal بوده و در طول آزمایش همواره غیر مستغرق است. اندازه‌گیری تنش برشی بستر در محدوده وسیعی در پیرامون تک آبشکن و در نواحی بالادرست و پایین‌دست آن انجام شد. شبکه اندازه‌گیری، همان طوری که در شکل ۶ نشان داده شده، چهار برابر طول آبشکن در ناحیه بالادرست و نه برابر در ناحیه پایین‌دست گسترش داشته و در عرض کanal تا فاصله چهار برابر طول آبشکن به سمت دیواره مقابل، اندازه‌گیری تنش انجام شده است. در این شکل محورهای طولی و عرضی نسبت به طول آبشکن (L) بی‌بعد شده است. در مجموع، تنش برشی در نقطه از بستر کanal پیرامون آبشکن اندازه‌گیری شده است.



شکل ۶ شبکه‌بندی بستر کanal پیرامون تک آبشکن برای اندازه‌گیری تنش برشی بستر با استفاده از ابزار سه‌بعدی



شکل ۷ سری زمانی و منحنی تغییر متوسط متحرک تنش برشی اندازه‌گیری شده در دماغه آبشکن

تا مقطع آبشکن ( $X/L=0$ ) بیشینه تنش در امتداد خط برابر  $Y/L=3$  بوده و در بالادست آبشکن بیشینه تنش به خط  $Y/L=0.9$  منتقل می‌شود. تشدید تنش در منطقه قبل از  $Y/L=0.9$  آبشکن به صورت افزایش عمومی تنش ناشی از کاهش عرض عبوری جریان است، اما در محدوده اطراف آبشکن، تشدید موضعی سرعت جریان در دماغه آبشکن باعث افزایش تنش برشی اعمال شده به بستر کanal می‌شود. در محدوده بالادست آبشکن و در بخش بزرگی از ناحیه مزبور، تنش برشی بستر ناچیز است، اما در بالادست دماغه در امتداد خط  $Y/L=0.9$ ، تنش برشی بستر بالادست دماغه افزایش ناشی از انحراف شدید عرضی جریان است. در محدوده مزبور جریان عرضی شدیدی به سمت میانه کanal شکل می‌گیرد که بر اساس اندازه‌گیری توسط سرعت‌سنج ADV، اندازه مؤلفه عرضی سرعت در بالادست آبشکن،  $1/2$  برابر سرعت متوسط جریان نزدیک شونده است. با گذشتن از مقطع آبشکن، منطقه تشدید تنش در پایین دست دماغه گسترش یافته و به صورت ناحیه‌ای به شکل خنجر توسعه می‌یابد. حداقل تشدید تنش برابر تنش جریان نزدیک شونده بوده و محدوده وقوع آن از دماغه بالادست آبشکن شروع شده و تا فاصله‌ای در حدود یک برابر طول آبشکن به سمت پایین دست ادامه دارد؛ اما محدوده پر تنش -که نسبت به توزیع تنش نواحی پیرامونی تنش برشی آن قابل ملاحظه است- تا پنج

## ۴- آزمایش و تحلیل نتایج

### ۱-۱- نتایج آزمایش اصلی

تنش برشی بستر ( $\tau$ ) در هر نقطه نسبت به مقدار تنش برشی متوسط جریان آزاد ( $\tau_{00}$ )، بی بعد شده و توزیع تنش در محدوده اندازه‌گیری شده در شکل ۸ نشان داده شده است. لازم است ذکر شود که تنش برشی جریان آزاد بدون حضور آبشکن و در شرایط هیدرولیکی یکسان با آزمایش مورد نظر در مقطع توسعه یافته اندازه‌گیری شده است. بدین منظور تنش موضعی در  $100$  نقطه در عرض مقطع توسعه یافته اندازه‌گیری شده و متوسط آنها به عنوان تنش برشی متوسط جریان آزاد در نظر گرفته شد. با توجه به این شکل، تأثیر آبشکن بر توزیع تنش برشی بستر تا اولین مقطع اندازه‌گیری (در فاصله چهار برابر طول آبشکن) قابل مشاهده بوده و در این مقطع، بیشینه تنش در فاصله‌ای حدود  $2.5L$  از جداره سمت راست کanal رخ می‌دهد. در مقطع عرضی مزبور، تنش برشی بستر در امتداد جداره سمت راست کanal ناچیز است که علت آن گرادیان مثبت طولی فشار ناشی از وجود آبشکن و نقش آن در جدایی جریان نزدیک شونده زیرین است. با حرکت به سمت پایین دست و با افزایش انحنای خطوط جریان به سمت بخش میانی کanal، تنش برشی اعمال شده از طرف جریان نزدیک کف بر بستر کanal افزایش یافته و محل وقوع بیشینه تنش برشی به سمت نواحی میانی کanal جابجا می‌شود.

لایه برشی شکل گرفته و به صورت مماس بر آن به سمت پایین دست امتداد می‌یابد.

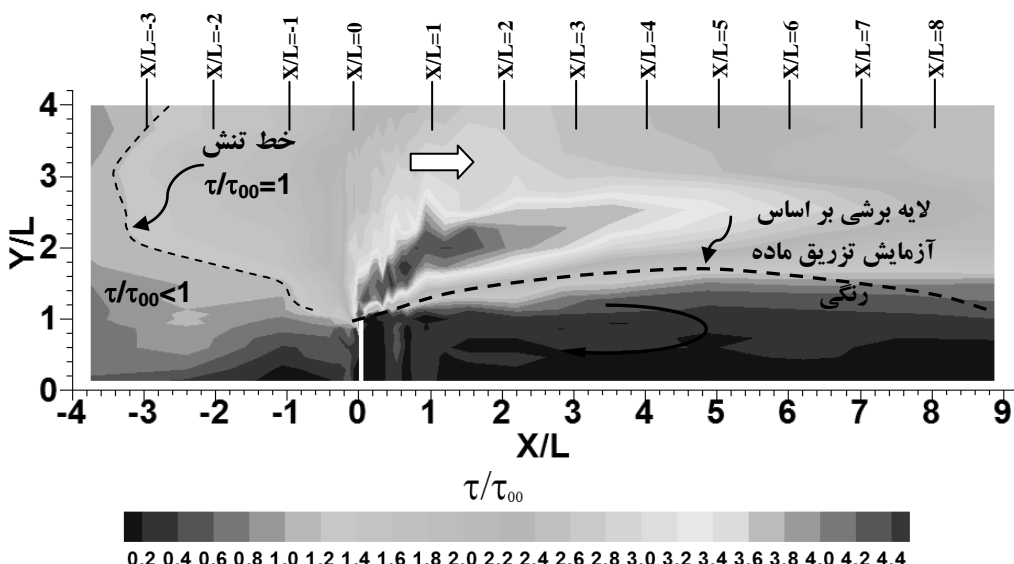
برای بررسی صحت کیفی نتایج، محدوده بیشینه تنش حاصل از اندازه‌گیری با ابزار سه لوله‌ای با نتایج محققان قبلی مقایسه و در شکل ۹ ارائه شده است. با توجه به این شکل، محدوده پر تنش در تحقیق حاضر همخوانی بسیار خوبی با نتایج آزمایشگاهی و شبیه‌سازی‌های عددی دقیق دارد. در این شکل، نتایج تنش برشی گزارش شده توسط Duan et al. (2009) که با استفاده از روش تنش رینولذ حاصل از اندازه‌گیری با ابزار ADV محاسبه شده نیز برای مقایسه ارائه شده است. توجه شود که در بیشتر مراجعی که تنش برشی را با روش تنش‌های رینولذ محاسبه کرده‌اند، نتایج فقط به صورت پروفیل‌های طولی یا عرضی تنش ارائه شده و منحنی‌های هم‌تراز در آنها نشان داده نشده است. این شکل به خوبی نشانگر نقص روش تنش‌های رینولذ در محاسبه تنش برشی بستر است، به طوری که وقوع محدوده پر تنش در انتهای ناحیه چرخشی نادرست تعیین شده است.

برابر طول آبشکن به سمت پایین دست توسعه یافته است.

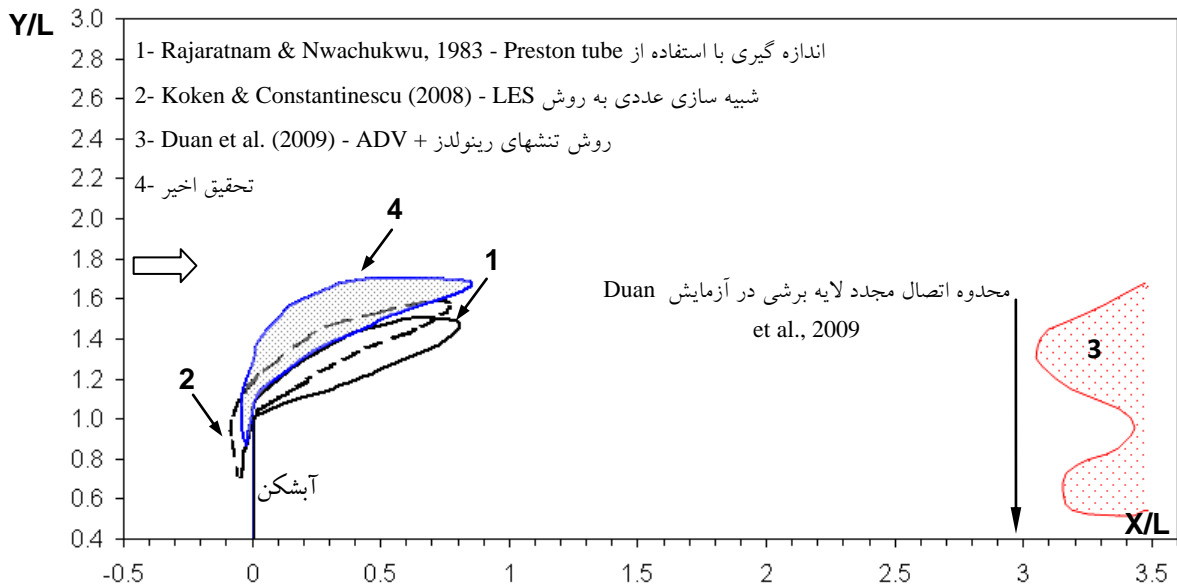
Rajaratnam and Nwachukwu (1983)، Teruzzi et al. (1998)، Molinas et al. (2009) نیز تشدید تنشی شبیه به مقدار تحقیق حاضر را در

مطالعات آزمایشگاهی و عددی خود برای جریان پیرامون آبشکن و کوله پل با نسبت‌های هندسی و شرایط هیدرولیکی نزدیک به آزمایش انجام شده در تحقیق حاضر گزارش کرده‌اند. میزان تشدید عمومی تنش در مجرای اصلی کanal ۲/۷ برابر تنش برشی جریان نزدیک شونده بوده و تا مقطع عرضی  $X/L=9$  تشدید عمومی تنش ادامه دارد. تشدید موضعی تنش از مقطع عرضی  $X/L=2$  به سمت پایین دست تضعیف شده و در مقطع انتهایی، میزان تنش موضعی و عمومی بستر یکسان است.

با توجه به این شکل، تنش برشی بستر در محدوده جریان چرخشی پشت آبشکن ناچیز بوده و با حرکت به سمت بخش میانی کanal به تدریج افزایش می‌یابد. حد فاصل ناحیه بیشینه تنش برشی موضعی و تنش برشی کم، بیانگر ناحیه لایه برشی محاط بر ناحیه چرخشی است. به بیان دیگر، محدوده بیشینه تنش برشی، در امتداد بخش بیرونی



شکل ۸ توزیع تنش برشی بی بعد شده در پیرامون تک آبشکن مستقیم



شکل ۹ مقایسه محدوده وقوع تنش برشی بیشینه در تحقیق حاضر با نتایج محققان قبلی

که در آن  $\Delta = \tau_{00} / \tau$  پارامتر بی بعد تشدید تنش بوده و ترم‌های اول و دوم سمت راست به ترتیب بیانگر تشدید تنش موضعی و ناشی از تنگ شدگی مقطع است. این پژوهشگران بر اساس مشخصات هیدرولیکی و هندسی جریان روابط زیر را برای تشدید موضعی و تشدید ناشی از تنگ شدگی مقطع پیرامون کوله پل ارائه کرده‌اند:

$$\Lambda_{cont} = \left( \frac{1}{M} \right) \left[ 1 + 5.46 \left( \frac{1}{M} \right)^{3.89} F_{app}^{1.74} \left( \frac{L}{y_{app}} \right)^{2.50} \right] \quad (7)$$

$$\Lambda'_{nose} = \left( \frac{1}{M^2} \right) \sqrt{1 + \tan^2 \alpha_w} - 1, \quad (8)$$

$$\alpha_w = 1.485 F_{app}^{0.13} \left( \frac{L}{y_{app}} \right)^{0.06}$$

در این روابط،  $M$  نسبت بازشدگی در مقطع آبشکن ( $M = (B - L) / B$ )،  $y_{app}$  به ترتیب عمق و عدد فرود جریان نزدیک شونده است.  $\alpha_w$  اختلاف زاویه بین راستای خطوط جریان نزدیک بستر و خط جریان نزدیک به سطح آب در محل دماغه است.

Koken در شبیه‌سازی‌های عددی دقیق مانند مطالعات Paik and Sotiropoulos and Constantinescu (2008)

نادرست بودن این روش با توجه به الگوی فرسایش بستر در آزمایش‌های بستر متحرک که توسط محققان مختلفی مانند Yasi (2006) گزارش شده، روشن است. توجه شود که در محدوده دماغه آبشکن، محل وقوع فرسایش موضعی دقیقاً منطبق بر محل بیشینه تنش برشی نبوده و در ناحیه‌ای بین محدوده حداکثر تنش و بخش بیرونی لایه اختلاطی رخ می‌دهد (Safarzadeh et al., 2010). علت عدم انطباق کامل نواحی بیشینه تنش در تحقیق حاضر و نتایج ارائه شده توسط محققین قبلی، اختلاف در شرایط هیدرولیکی بالادست و همچنین ناشی از تفاوت نسبت طول آبشکن به عرض کanal است.

#### ۲-۴-۴- مطالعه پارامتری

Molinias et al. (1998) تشدید تنش برشی پیرامون سازه‌های رودخانه‌ای را به دو بخش تنش برشی موضعی و عمومی تقسیم کرده و روابط زیر را برای بررسی تأثیر پارامترهای مختلف هندسی و هیدرولیکی بر میزان تشدید تنش استخراج کرده‌اند:

$$\Lambda = \Lambda'_{nose} + \Lambda_{cont} \quad (6)$$

با توجه به این شکل، نتایج تحقیق حاضر همخوانی بسیار خوبی با نتایج روابط نظری داشته و علاوه بر آن، میزان پراکندگی داده‌های تحقیق اخیر پیرامون خط همبستگی Rajaratnam and Nwachukwu (1983) است. این نکته نشانگر عملکرد بهتر ابزار ساخته شده نسبت به ابزار پرسنون تیوب در اندازه‌گیری تنش برشی بستر پیرامون سازه‌های رودخانه‌ای نظیر آبشکن است.

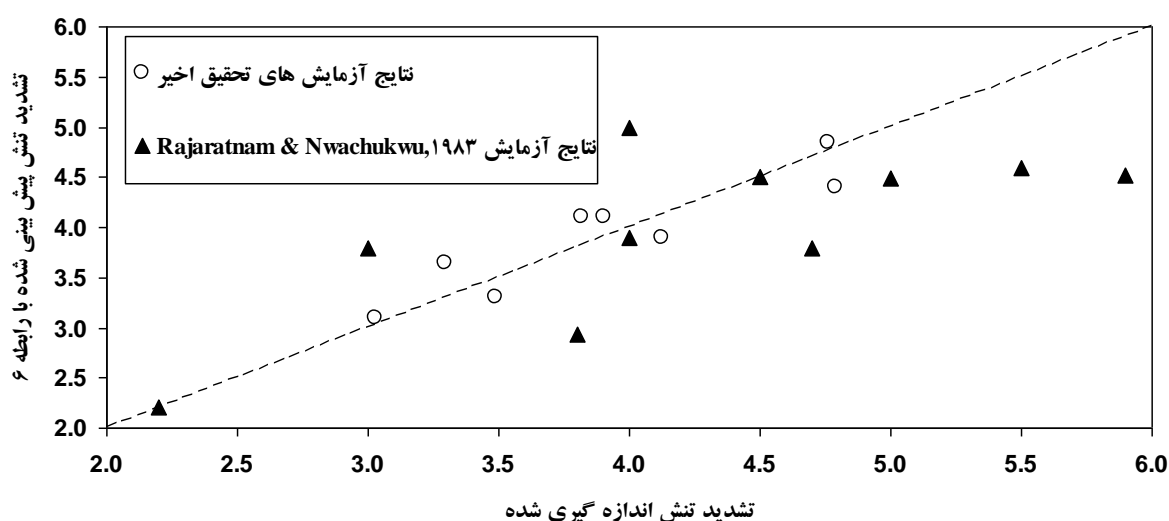
#### ۴-۳-۴- برسی ارتباط توزیع تنش برشی بستر با پدیده وقوع آبشکن

بیشتر مدل‌های انتقال رسوب مورد استفاده در مهندسی رودخانه، از روش نیروی کششی متوسط برای بررسی انتقال رسوب بستر و پیش‌بینی فرسایش استفاده می‌کنند. مصالح بستر زمانی جابجا می‌شوند که تنش برشی بستر، از مقدار حدی مشخصی فراتر رود. اگرچه تحقیق حاضر با فرض بستر صلب صورت گرفته، اما توزیع تنش برشی بستر تا حد زیادی می‌تواند در کسب درک کیفی از الگوی فرسایش میدان کارساز بوده و در حالت کلی می‌تواند محل آغاز حرکت بار بستر و همچنین محدوده وقوع آبشکنی موضعی را پیش‌بینی کند.

Teruzzi et al. (2005) و (2009) که همگی بر اساس روش گردابه‌های بزرگ انجام شده، برای بررسی قابلیت مدل عددی خود در پیش‌بینی بیشینه تشديد تنش برشی حول آبشکن یا کوله پل به نتایج Molinas et al. (1998) استناد کرده‌اند.

با توجه به دقیق بسیار بالای روش عددی گفته شده در پیش‌بینی تنش برشی بستر به سبب استفاده از اطلاعات جریان در بخش زیر لایه لرج، در تحقیق حاضر نیز به منظور بررسی جامع‌تر عملکرد ابزار ساخته شده، مطالعات پارامتری انجام و نتایج حاصل با نتایج محققان مذبور مقایسه شد.

تنش برشی بستر برای سه طول مختلف آبشکن (۱۲۰ و ۲۰۰ میلی‌متر) و برای سه عمق مختلف جریان ورودی (۱۴۳، ۱۶۰ و ۱۸۰ میلی‌متر) اندازه‌گیری و با استفاده از نتایج حاصل، نحوه تغییر بیشینه تشديد تنش نسبت به پارامترهای هندسی و هیدرولیکی تعیین و با روابط (۷) و (۸) و همچنین داده‌های آزمایشگاهی Rajaratnam and Nwachukwu (1983) مقایسه شده است. شکل ۱۰ مقایسه نتایج تحقیق حاضر را با نتایج محققان مذبور نشان می‌دهد.



شکل ۱۰ مقایسه مقادیر تشديد تنش اندازه‌گیری شده در تحقیق حاضر با روابط نظری و داده‌های آزمایشگاهی موجود

بیشتر ناشی از جریان روبه پایین و ایجاد گردابه نعل اسیبی بوده و در این ناحیه نمی‌توان وقوع آبشنستگی موضعی را بر اساس توزیع تنش برشی تحلیل کرد.

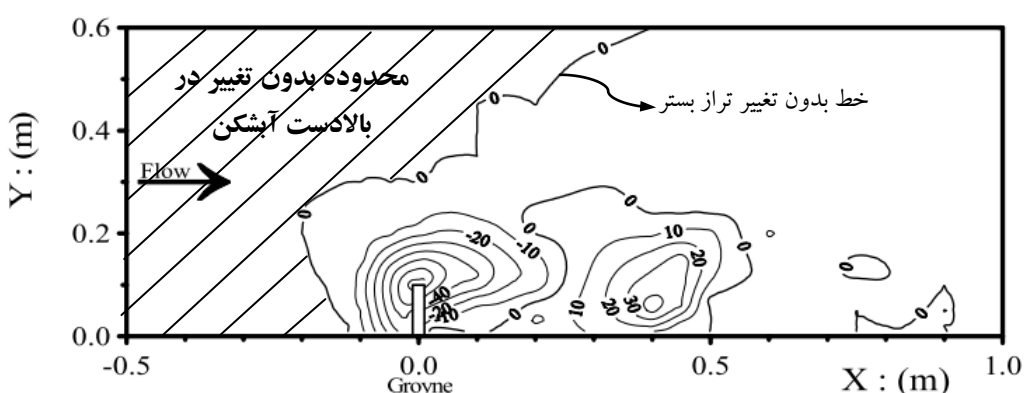
تراز توپوگرافی صفر (خط بدون تغییر تراز بستر در شکل ۱۱) در بالادست آبشکن، مشابه الگوی تغییر تنش برشی در ناحیه قبل از آبشکن خط  $\tau = 1/\tau_{00}$  است. توجه شود که همچنان که در بخش طراحی آزمایش‌ها عنوان شد، در آزمایش تحقیق حاضر تنش برشی بستر در کل عرض کanal اندازه‌گیری نشده و اختلاف شکل خطوط مزبور در نیمه بدون آبشکن کanal، مربوط به این نکته است. در صورتی که قطر متوسط مصالح بستر به اندازه‌ای باشد که بر اساس معیار شیلدز  $\tau_{xp} = \tau_{00} = 1$  حاصل شود، می‌توان گفت که به ازای  $\tau_{xp} < 1/\tau_{00}$  ذرات رسوب بستر حرکت نکرده و در واقع ناحیه بالادست خط  $\tau = 1/\tau_{00}$  بدون تغییر خواهد ماند.

آبشنستگی در محدوده مزبور ناشی از تشدید عمومی تنش برشی بستر بر اثر انحنای تدریجی خطوط جریان نزدیک شونده است و می‌توان گفت که تشدید تنش برشی عمومی اندازه‌گیری شده با این ابزار نیز دقت مناسبی دارد.

علاوه بر آن می‌توان با استفاده از نتایج حاصل از توزیع تنش، قطر مصالح و همچنین محدوده مورد نیاز برای پوشش محافظه ریپ رپ پیرامون دماغه را پیش‌بینی کرد.

شکل ۱۱ الگوی فرسایش بستر پیرامون تک آبشکن مستقیم واقع در بستر متحرک را در یکی از آزمایش‌های Yasi (2006) نشان می‌دهد. لازم به ذکر است که این آزمایش در شرایط آب تمیز انجام شده و بنابراین الگوی فرسایش و رسوب‌گذاری ایجاد شده، به صورت موضعی است. با توجه به این شکل، بیشترین فرسایش در محل دماغه رخ داده و چاله فرسایشی در بالادست آبشکن و همچنین در ناحیه پایین دست دماغه به سمت پایین دست گسترش یافته است. وقوع رسوب‌گذاری در داخل ناحیه چرخشی واقع در پایین دست آبشکن نیز مشهود است.

مقایسه توزیع تنش برشی اندازه‌گیری شده در تحقیق حاضر (شکل ۸) با الگوی تغییر بستر گزارش شده توسط Yasi (2006) نشان می‌دهد که توزیع محدوده بیشینه تنش برشی بستر همخوانی مناسبی با محدوده وقوع چاله فرسایشی در محل دماغه و پایین دست آبشکن دارد. علاوه بر آن وقوع رسوب‌گذاری در محل ناحیه چرخشی با توجه به مقدار ناچیز تنش برشی بستر در تحقیق حاضر همخوان است. در محل بالادست آبشکن، وقوع فرسایش،



شکل ۱۱ الگوی تغییر تراز بستر پیرامون تک آبشکن مستقیم در بستر متحرک در کار آزمایشگاهی Yasi (2006)

|              |  |
|--------------|--|
| $\Delta P$   | فشار دینامیک واقعی در لوله میانی برای حالت ( $\phi \neq 0$ ) |
| $\Delta P^+$ | پارامتر بی بعد فشار هیدرودینامیکی موضعی                      |
| $y_{app}$    | عمق جریان نزدیک شونده  |
| $\rho$       | جرم مخصوص آب   |
| $\alpha_w$   | اختلاف زاویه بین راستای خطوط جریان نزدیک بستر                |
|              | و خط جریان نزدیک به سطح آب در محل دماغه                      |
| $\phi$       | زاویه جریان موضعی نسبت به محور لوله میانی                    |
| $v$          | لزجت سینماتیک آب   |
| $\tau_0$     | تنش برشی موضعی بستر  |
| $\tau_{00}$  | تنش برشی متوسط جریان آزاد                                    |
| $\tau_{cr}$  | تنش برشی بحرانی ذره  |
| $\tau_0^+$   | تنش برشی بی بعد  |
| $\Lambda$    | پارامتر بی بعد تشدید تنش                                     |

## ۷- منابع

صفرزاده، اکبر؛ صالحی نیشابوری، سید علی اکبر؛ زراتی، امیر رضا و قاسیان، مسعود (۱۳۸۹). "مطالعه توزیع تنش برشی جداره در جریان یکنواخت کانال با استفاده از ابزار دقیق و شبیه سازی عددی"، مجله هیدرولیک، دوره ۵، شماره ۱، صص. ۵۱-۷۰.

Ahmed, F. and Rajaratnam, N. (2000). "Observations on flow around bridge abutments", Journal of Engineering Mechanics, Vol. 126, No. 1, pp. 51-59.

Beheshti, A. A. and Ataei-Ashtiani, B. (2010). "Experimental study of three-dimensional flow field around a complex bridge pier", Journal of Engineering Mechanics, Vol. 136, No. 2, pp. 143-154.

Dey, S. and Barbhuiya, A. (2005). "Turbulent flow field in a scour hole at a semicircular abutment", Canadian Journal of Civil Engineering, Vol. 32, No. 1, pp. 213-232.

Duan, J. (2009). "Mean flow and turbulence around a laboratory spur dike", Journal of Hydraulic Engineering, Vol. 135, No. 10, pp. 803-811.

Duan, J.; He, L.; Fu, X. and Wang, Q. (2009). "Mean flow and turbulence around an experimental

## ۵- نتیجه‌گیری

در این مقاله، ضمن مرور کلی روش‌های رایج اندازه‌گیری تنش برشی بستر در مطالعات هیدرودینامیک رودخانه‌ها، ابزار سه لوله‌ای برای اندازه‌گیری این پارامتر پیامون سازه‌های رودخانه‌ای ساخته شد و دقت آن در برآورد مقادیر کمّی و الگوی کیفی تنش برشی پیامون تک آبشکن مستقیم به عنوان سازه کلاسیک رودخانه‌ای ارزیابی شد.

بر اساس نتایج تحقیق حاضر، ابزار ساخته شده بدون محدودیت‌های روش‌هایی مانند روش تنش های رینولدز، می‌تواند تشدید موضعی پیامون سازه، نحوه توسعه بیشینه تنش برشی موضعی به سمت پایین دست و در امتداد بخش بیرونی لایه برشی و همچنین تشدید عمومی تنش به سمت دیواره مقابل و بالا دست آبشکن را با دقت مناسبی اندازه‌گیری کند. بر اساس مطالعه پارامتری تأثیر طول آبشکن و همچنین تأثیر عمق جریان بالا دست، بیشینه تشدید موضعی تنش، انطباق خوبی با روابط نظری و داده‌های آزمایشی محققان قبلی دارد. بر اساس توزیع تنش برشی بستر، الگوی فرسایش و رسوب گذاری موضعی و همچنین نحوه گسترش تأثیر آبشکن بر تغییر تراز بستر در جریان نزدیک شونده به خوبی قابل پیش‌بینی است.

## ۶- فهرست عالیم

|                    |  |
|--------------------|--|
| $D_i$              | قطر داخلی لوله                                 |
| $D_p$              | قطر بیرونی لوله                                |
| $F_{app}$          | عدد فرود جریان نزدیک شونده                     |
| $g(\tau_0^+)$      | تابع بی بعد تنش برشی                           |
| $K_1, K_2$ و $K_3$ | ضرایب کالیبراسیون                              |
| $L$                | طول آبشکن                                      |
| $M$                | نسبت بازدگی در مقطع آبشکن                      |
| $P_0$              | فشار کل در لوله میانی برای حالت ( $\phi = 0$ ) |

- Rowinski, P. M.; Aberle J. and Mazurczyk, A. (2006). "Shear velocity estimation in hydraulic research", *Acta Geophysica Polonica*, Vol. 53, No. 4, pp. 567-583.
- Safarzadeh, A.; Salehi Neyshabouri, S.A.A.; Zarrati, A., R. and Ghodsian, M. (2010). "Experimental study of head shape effects on shear stress distribution around a single groyne". Proceeding River flow 2010. Braunschweig, Germany.
- Song., T. and Chiew, Y. M. (1994). "Vertical velocity distribution in steady non-uniform and unsteady open-channel flow", *Journal of Hydrodynamics*, Vol. 3, pp. 49-64.
- Teruzzi, A.; Ballio, F. and Armenio, V. (2009). "Turbulent stresses at the bottom surface near an abutment: laboratory-scale numerical experiment", *Journal of Hydraulic Engineering*, Vol. 135, No. 2, pp. 106-117.
- Vaghefi, M. and Ghodsian, M. (2008). "Experimental study on scour and flow field in a scour hole around a T-shape spur dike in a 90° bend", *International Journal of Sediment Research*, Vol. 24, No. 2, pp.145-158.
- Yang, S. Q. and Chow, A. T. (2008). "Turbulence structures in non-uniform flows", *Advances in Water Resources*, Vol. 31, pp. 1344-1351.
- Yasi, M. (2006). "Uncertainties in the simulation of bed evolution in recirculating flow area behind groynes", *Iranian Journal of Science & Technology, Transaction B, Engineering*, Vol. 30, No. B1, pp. 69-83.
- Soon-Keat, T. and Guoliang Y. (2006). "Errors in the bed shear stress as estimated from vertical velocity profile", *Journal of Irrigation and Drainage Engineering*, Vol. 132, No. 5, pp. 490-497.
- spur dike", *Advance in Water Resources*, Vol. 132, No. 12, pp. 1717-1725.
- Fernholz, H. H.; Janke, G.; Schober, M.; Wanger, P. M. and Warnack D. (1996). "New developments and applications of skin friction measuring techniques". *Measurement Science and Technology*, Vol. 7, pp. 1396-1409.
- Koken, M. and Constantinescu, G. (2008). "An investigation of the flow and scour mechanisms around isolated spur dikes in a shallow open channel:1. Conditions corresponding to the initiation of the erosion and deposition process", *Water Resources Research*. Vol. 44, No. 8, pp. 1-19.
- Molinias, A., Kheireldin, K. and Baosheng, W. (1998). "Shear stress around vertical wall abutments", *Journal of Hydraulic Engineering*, Vol. 124, No. 8, pp. 822-830.
- Nezu, L. and Rodi, W. (1986). "Open-channel flow measurements with a laser doppler anemometer", *Journal of Hydraulic Engineering*, Vol. 112, No. 5, pp. 335-355.
- Paik, J. and Sotiropoulos, F. (2005). "Coherent structure dynamics upstream of a long rectangular block at the side of a large aspect ratio channel", *Physics of Fluids*, Vol. 17, No. 11, pp. 332-346.
- Preston, J., H. (1954). "The determination of turbulent skin friction by means of Pitot tubes", *Journal of the Royal Aeronautical Society*, Vol. 58, No. 3, pp. 109-121.
- Rajaratnam, N.; Nwachukwu, B. (1983). "Erosion near groyne-like structures", *Journal of Hydraulic Research*, Vol. 21, No. 4, pp. 277-287.
- Rajaratnam, N. and Muralidhar, D. (1968). "Yaw probe used as Preston tube", *Technical Note, Aerospace Journal, Royal Aeronautics Society*, Vol. 72, pp. 1059-60.
- Rajaratnam, N. and Pani, B.S. (1974). "Three-dimensional turbulent wall jets", *Journal of Hydraulic Engineering*, Vol. 100, No. 1, pp. 69-83.